

鹽浴焼入に関する研究

(日本鐵鋼協會第 21 回講演大會講演 昭和 14 年 4 月)

阿部三郎*

A STUDY ON THE SALT BATH QUENCHING.

Saburo Abe.

SYNOPSIS:—The heat treatment, which consists of quenching steel from a temperature well over the critical into a salt bath at a temperature between 180 and 400°C and holding it there until it is completely transformed, has aroused considerable interest, because the steel subjected to such heat treatment has a better toughness at a high hardness than that found in the same steel quenched into oil and tempered to the same hardness.

The data so far published by E. C. Bain and E. S. Davenport have referred only to plain carbon steel. The author investigated the effects of various alloy elements, bath temperature and holding time in a salt bath on the effectiveness of this heat treatment. Steels selected for this investigation are carbon steels and alloy steels with contents as shown in the following table.

C steel	C 0.5~1.3%
Cr steel	C 0.7%, Cr 1.0~3.0%
Ni steel	C 0.7%, Ni 1.0~3.0%
Ni-Cr steel	C 0.3~0.7%, Ni 3.0%, Cr 0.5%
Ni-Cr-Mo steel	C 0.3~0.7%, Ni 3.0%, Cr 0.5%, Mo 0.5%

The results of the investigation are outlined below:—

(1) This treatment is very effective for C steels of about 0.7~0.9% C, Cr steels of about 0.7% C, Ni-Cr steels and Ni-Cr-Mo steels of 0.3% C. It is not however, effective for Ni steels of about 0.7% C, Ni-Cr steels and Ni-Cr-Mo steels of about 0.7% C.

(2) The holding time in the salt bath and its temperature are carrelative, and it is desirable to hold them in salt bath until the austenite is completely transformed.

(3) In their discussion of the superior toughness of salt-bath-quenched plain carbon steel when compared with oil-quenched samples tempered to the same hardness, Davenport and Bain refer to the presence of micro-cracks in the oil quenched pieces as the probable cause of their inferior toughness.

According to the author's experiments, however, no crack is found in the oil quenched pieces of these alloy steels. The author believes that the superior toughness of the salt-bath-quenched samples is due to the micro-structure which is different from that of steel quenched into oil, and also to the lower stress of transformation.

目次

I 緒言 II 鹽浴に就て. III 試料. IV 實驗結果.

- (A) 各種元素の影響
- (B) 鹽浴中浸漬時間の影響
- (C) 鹽浴焼入せるものを更に焼戻す場合に於ける衝撃値の變化

V 實驗結果に對する考察. VI 總括.

I 緒言

熔融點の低い熔融金屬及鹽浴中^{1) 2) 3) 4) 5) 6) 7) 8)}に燒入し或

* 日本製鋼所室蘭製作所

¹⁾ Oknoff: Rev. Metal, 22 (1925), Extracts 175²⁾ 本多, 田丸: 金屬の研究 1927, 第 4 卷³⁾ Robertson: J. I. & S. I. 1927, Vol. 119⁴⁾ Lewis: J. I. & S. I. 1929, Vol. 119⁵⁾ Davenport & Bain: A. I. M. E. Iron and steel div. 1930⁶⁾ Diergarten: Metal prog. March, 1933⁷⁾ Daasch: Metal prog. November, 1933⁸⁾ Hughes & Dowdell: A. S. S. T. 1934, XXII

は冷却效果の小なる乳化油中⁹⁾に燒入する如き熱處理法は可なり古くから研究せられて居るから、その目的とするところは一回の操作でトルスタイト乃至ソルバイト組織を得るためか、或は焼割を防止するために過ぎなかつた様である。

最近アメリカの Davenport 及 Bain¹⁰⁾ の兩氏は炭素量 0.70% の炭素鋼を適當な溫度の鹽浴中に燒入し、この中に或る一定時間浸漬して後冷却せるものは、或る硬度値の範圍に於て油焼入戻せるこれと同一硬度値のものより著しく靭性の大なることを報じて居る。

然し未だ炭素及他の特殊元素、鹽浴の溫度並に鹽浴中浸漬時間等の鹽浴燒入の效果に及ぼす影響に就ての研究報告が全く見當らない。

⁹⁾ 松繩、鈴木: 機械學會誌 1933, 第 36 卷¹⁰⁾ Davenport & Bain: A. S. S. T. 1934, XXII,

依て著者はこれ等に就て實驗を行た。

II 鹽浴に就て

實驗に使用せる鹽浴は、亞硝酸曹達 $NaNO_2$ 及硝酸カリ KNO_3 の混合鹽で、この狀態圖は未だ充分に研究されて居ないが、重量比約 45% : 55% のものは鹽浴として 150~400°C の溫度範圍に使用し得る如く記載¹¹⁾されて居るので、茲ではこの配合のものを採用した。

混合鹽の掛堀には軟鋼を用ひ、電氣爐で熔解した。この鹽浴を夫々 180, 200, 250, 300, 350 及 400°C の各溫度に加熱して保持し、この中に 850°C より燒入せる場合の冷却速度を測定した。冷却速度を求める方法は色々あるが、茲では佐藤式自記燒入¹²⁾試験器を用ひた。試片は變態點のない Ni-Cr 合金で 5mm 直徑 70mm の長さであった。

第1圖はこれ等の測定結果にして、鹽浴の溫度の上昇するに從て冷却速度は減少する。これは鹽浴の溫度と燒入溫度との差が次第に減少する以外に、鹽浴の溫度の上昇に伴ひ、次第に氣化し易くなることに起因するものである。

尙第1圖に 850°C より靜止せる 25°C の種油中及 830

°C から靜止せる 320°C の水中に燒入せる場合の冷却速度をも示して置いた。

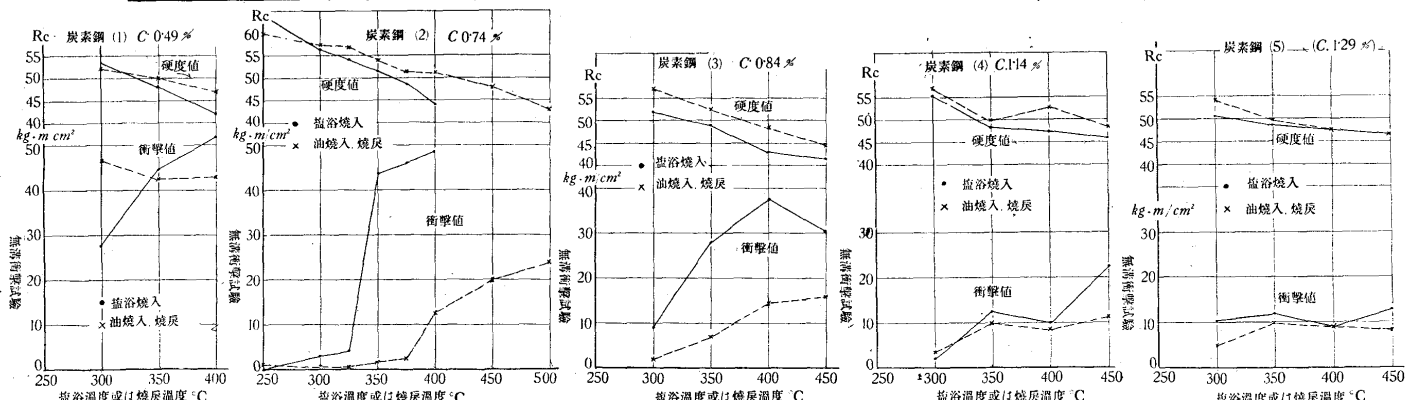
第1圖に於て鹽浴、水及種油中に燒入せる各場合の冷却速度を比較して見るに、鹽浴は 400°C の溫度の場合を除いては 800°C から 600°C 位までの冷却速度は水及種油のそれより著しく大であり 600°C 以下の溫度に於ける冷却速度は逆に水よりも種油よりも小である。

燒入冷却劑としては 800°C から 600°C 位までの冷却速度が出来る丈大きく 600°C 以下に於ける冷却速度が成可く小なるものが理想的と普通考へられて居る。燒入冷却劑として油が水より優るのは 600°C 以下の溫度に於ける冷却速度が著しく小であり、從て變態歪が小なることによるは今更述べるまでもないことである。

鹽浴は本論文に述べるが如き特別な熱處理に用ふる以外に、單に燒入冷却劑としても、以上の見地から見るならば優れたものと云へやう。

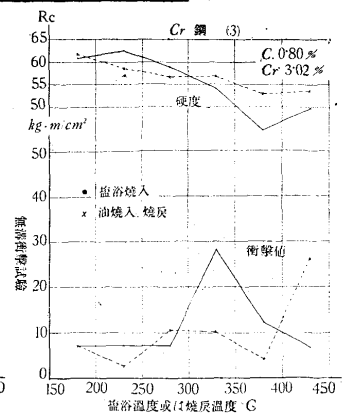
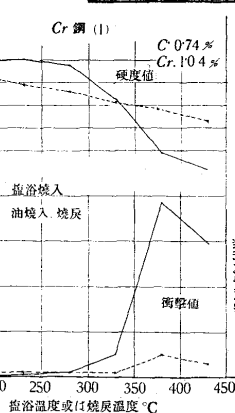
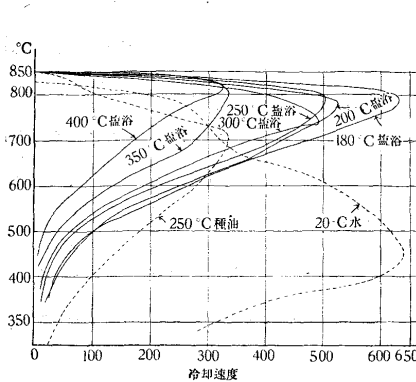
尙鹽浴は所定の溫度に保持し易く、又鹽浴中各部分に於ける溫度差も僅少である。從て溫度を嚴密に調節する必要のある如き材料の燒戻は、ガス爐或は電氣爐によるよりも鹽浴による方が、加熱し過ぎたり、ムラ焼けの虞が大いに

第 1 圖 第 2 圖



第 1 圖

第 3 圖



¹¹⁾ Goerens: Einführung in die Metale, 5 Auflage 1926

¹²⁾ 佐藤: 金属の研究 第9卷 第4號

輕減せられる。品物を鹽浴中に浸して曳出すと薄い皮膜を表面に生ずるが、これは水に浸すと容易に溶解するにより心配は無用である。

III 試 料

實驗は第1表に示せる如き化學組成の炭素鋼, Cr鋼, Ni

第1表 化學組成及試片の寸法

鋼種	符號	化學組成%				衝擊試驗片の寸法	溝の有無
		C	Ni	Cr	Mo		
炭素鋼	1	0.49	—	—	—	5mm直徑, 70mm長さ	無溝
	2	0.74	—	—	—	6mm角, 70mm長さ	同上
	3	0.84	—	—	—	5mm直徑, 70mm長さ	同上
	4	1.14	—	—	—	同上	同上
	5	1.29	—	—	—	同上	同上
Cr鋼	1	0.74	—	1.04	—	7mm角, 70mm長さ	同上
	2	0.77	—	2.00	—	同上	同上
	3	0.80	—	3.02	—	同上	同上
Ni鋼	1	0.71	0.96	—	—	同上	同上
	2	0.76	3.04	—	—	同上	同上
Ni-Cr鋼	1	0.29	3.33	0.55	—	10mm角, 60mm長さ	有溝
	2	0.75	3.48	1.04	—	7mm角, 70mm長さ	無溝
Ni-Cr-Mo鋼	1	0.28	2.80	0.67	0.37	同上	同上
	1	同上	同上	同上	同上	10mm角, 60mm長さ	有溝
	2	0.50	2.64	0.62	0.54	同上	同上
	3	0.75	3.51	1.04	0.51	7mm角, 70mm長さ	無溝

鋼, Ni-Cr鋼及 Ni-Cr-Mo鋼等に就て同表第4欄に示せる如き寸法の試験片で、無溝及有溝シヤルピー衝撃試験並に硬度試験等を行た。衝撃試験片を5mm直徑或は6~7mm角と細くせるは Bain 及 Davenport が斯如き寸法のものに就て實驗を行たので、これに倣たのである。斯如く細い試験片に溝を刻むと溝の影響が著しく大きくなるため、この點を考慮し、標準の寸法より小なる試験片には特に溝を刻まずに實驗を行た。炭素鋼に於ては試片の寸法及形狀等が異なるものがあるので、衝撃値を直接比較出来ないことを附記して置く。

IV 實驗結果

(A) 各種元素の影響 850°Cに20分間加熱後鹽浴中に焼入し、この中に10分間(Ni-Cr-Mo鋼(2)のみは30分間)浸漬せる後水中冷却(炭素鋼以外の特殊鋼は總て空中冷却を行た)せる場合及850°Cより種油中に焼入し1時間焼戻後油中冷却を行た各場合の衝撃及硬度試験等の結果は次の如くである。

(1) 炭素鋼 第2圖に示せる炭素鋼の實驗結果をみると、炭素量0.49%の炭素鋼に於ては鹽浴熱處理を行ふも焼入焼戻せるものの衝撃値と大差が認められない。

然し炭素量0.74%及0.84%の炭素鋼は350°C以上の鹽浴中に焼入せるに、油焼入、焼戻せる同一硬度値のものゝ衝撃値より大なる値を示して居る。

炭素量1.14%及1.29%の炭素鋼に於ては、炭素量0.49%の炭素鋼に於けると同様に、鹽浴焼入せるも、その衝撃値は焼入焼戻せるものと大差がない。

以上の實驗結果より鹽浴熱處理の效果は、炭素量0.74%及0.84%程度の炭素鋼に於て最も著しく大なることが認められる。

(2) Cr鋼 Cr鋼に於ては、第3圖に示せる如く大體330°C以上の溫度の鹽浴中に焼入せるにCr鋼(1)及(2)は何れも焼入、焼戻せる同一硬度値のものより可成大なる衝撲値を示しCr鋼(3)は鹽浴溫度が大體330°Cに於ては鹽浴熱處理の效果が認められるも、これ以上の溫度の鹽浴の場合は油焼入焼戻せるこれと同一硬度値のものより小なる衝撲値を示す。故にCr含量の相違に從て鹽浴の溫度を適當に擇ねばならない。第3圖と第2圖(炭素鋼(2))とを比較するにCr元素を添加するも略同一炭素量の炭素鋼に於ける鹽浴熱處理の效果と餘り相違が認められない。然しCrは鋼の自硬性を著しく増大する爲めCrを添加せる鋼に於ては炭素鋼に於けるよりも大なる寸法の材料に本熱處理方法を應用し得る譯である。

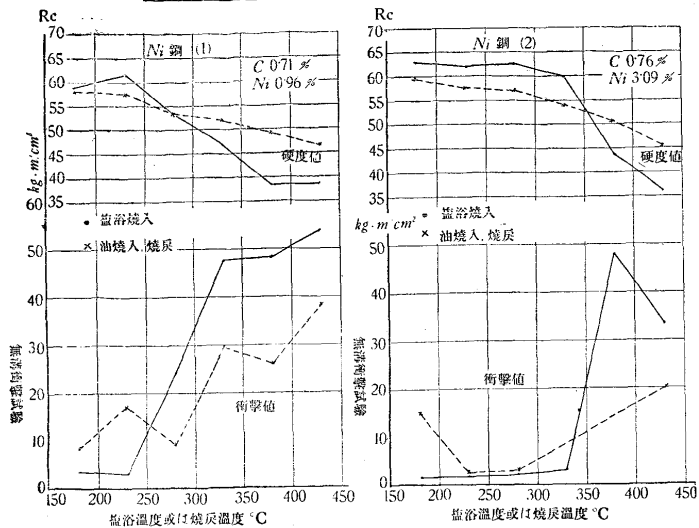
(3) Ni鋼 Ni鋼に於ては第4圖に示すが如くNi鋼(1)は大體330°C以上Ni鋼(2)は大體380°C以上の溫度の鹽浴中に焼入すると、鹽浴熱處理の效果が認められたが、然しその效果は炭素鋼(2)及Cr鋼に於けるが如く顯著ではない。

第3圖及第4圖に示せるCr鋼及Ni鋼に就ての實驗結果は、何れも鹽浴中浸漬時間が10分間の場合であつたが、浸漬時間を増すことにより、鹽浴熱處理の效果が稍増大するが、これ等に就ては後に述べることにする。

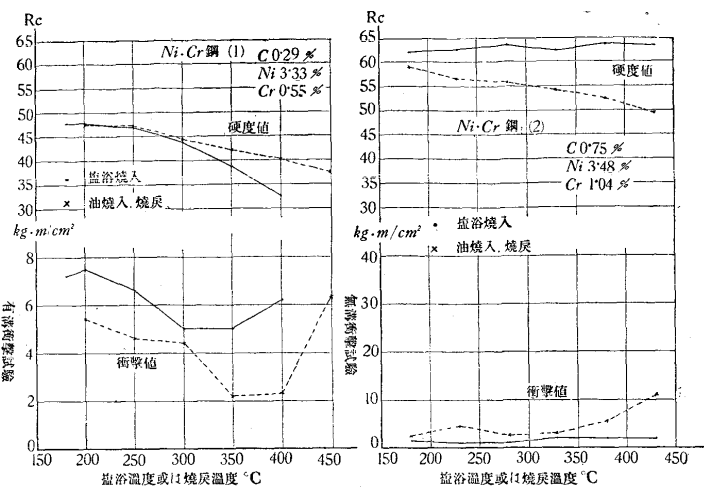
(4) Ni-Cr鋼 Ni-Cr鋼に於ては、第5圖に示すが如く、含炭量の小なるNi-Cr鋼(1)は鹽浴焼入するに、油焼入焼戻せるものより衝撲値は稍大なるも、炭素鋼或はCr鋼等に於けるが如く鹽浴熱處理の效果は顯著ではない含炭量大なるNi-Cr鋼(2)も鹽浴焼入の效果は認められないが、然し硬度値は油焼入、焼戻せるものより大なるにより、硬度値を要求する如き場合に應用し得る譯である。

(5) Ni-Cr-Mo鋼 第6圖に示せる如くNi-Cr-Mo鋼はNi-Cr鋼と大體同様な傾向を示す。即ちNi-Cr-Mo鋼(1)及(2)は鹽浴熱處理するに油焼入、焼戻るそれより

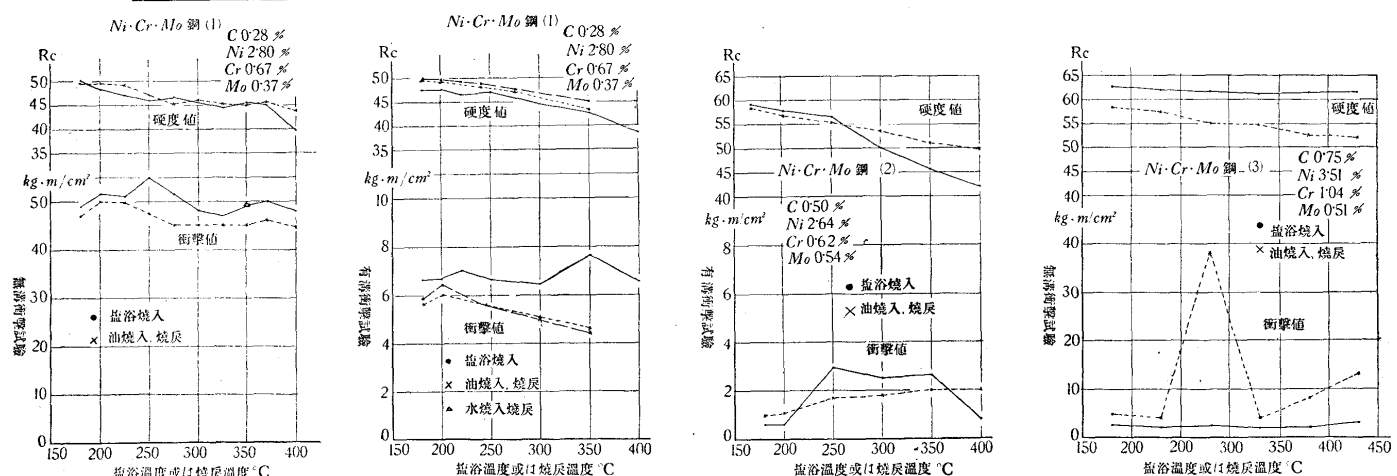
第4圖



第5圖



第6圖



衝撃値は若干大なるも $Ni \cdot Cr \cdot Mo$ 鋼(3)の如く炭素量の大なる場合は鹽浴熱處理の効果が殆んど認められない。同一 $Ni \cdot Cr \cdot Mo$ 鋼に就て、無溝及有溝の状態で衝撲試験を行へるに、溝の有無に拘らず大體同様な傾向を示すことが判た。

Cr 鋼及 Ni 鋼に於けるが如く Cr 或は Ni の各元素を單獨に添加する場合には、鋼種により多少相違はあるも鹽浴焼入により油焼入焼戻せるものよりも靭性が大であるが Ni 及 Cr を同時に添加した $Ni \cdot Cr$ 鋼、更に Mo を添加した $Ni \cdot Cr \cdot Mo$ 鋼等に於て含炭量大なる場合に焼入鹽浴の効果が認められざるは興味ある現象と思考する。

(B) 鹽浴中浸漬時間の影響 炭素鋼、 Cr 鋼、 Ni 鋼 $Ni \cdot Cr$ 鋼 及 $Ni \cdot Cr \cdot Mo$ 鋼等を様々な温度に保持した鹽浴中に焼入し、その中に 10 分間浸漬後冷却する場合の衝撲値及硬度値は前項に示せる如くであるが、尙鹽浴中

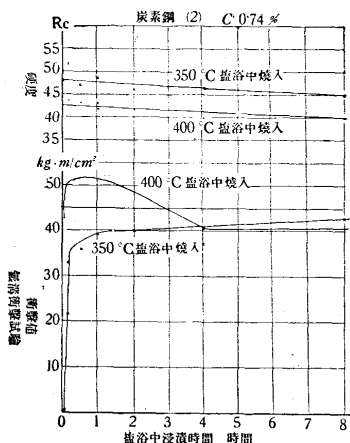
浸漬時間の衝撲値及硬度値に及ぼす影響を確める必要が認められたによって、これ等に就て實験を行た。

(1) 炭素鋼の場合 炭素鋼(2)の 7mm 角、70mm* の長さの試験片を 850°C より 350 及 400°C の鹽浴中に焼入し、その中に浸漬する時間を夫々 2 分間、10 分間、30 分間、1 時間、2 時間、4 時間並に 8 時間と様々に變化せしめ、後水冷した各場合の衝撲値及硬度値を測定したその結果は第7圖に示せる如くである。

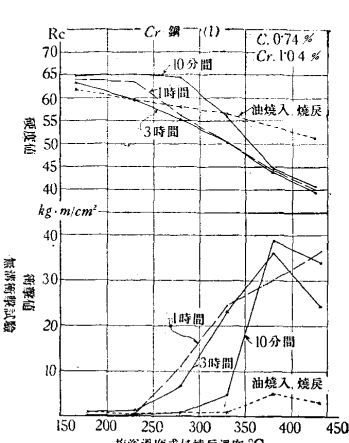
350°C の鹽浴の場合は、鹽浴中浸漬時間 2 分間の時は衝撲値小なるも 10 分間浸漬するに衝撲値は著しく増加し、浸漬時間がこれ以上の場合には、衝撲値に及ぼす時間の影響は極めて僅少である。一方硬度値に就て見るに、浸漬時間の増加に伴て微少ながら減少の傾向を示して居る。

* 第2圖に示せる炭素鋼(2)に就ての實験は 6mm 角、70mm の長さの試験片に就てのものであつたが、茲では 7mm 角、70mm の長さの試験片に就て實験を行つたので特にこの寸法を示した。

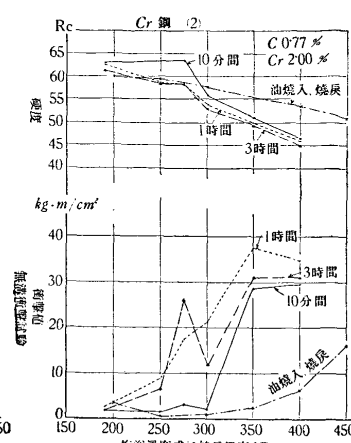
第 7 圖



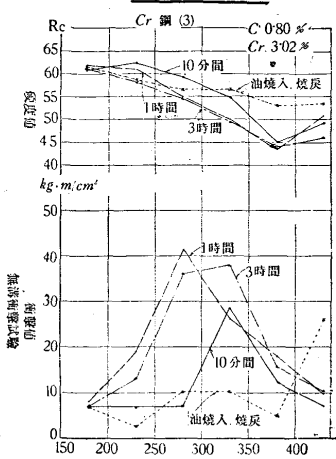
第 8 圖



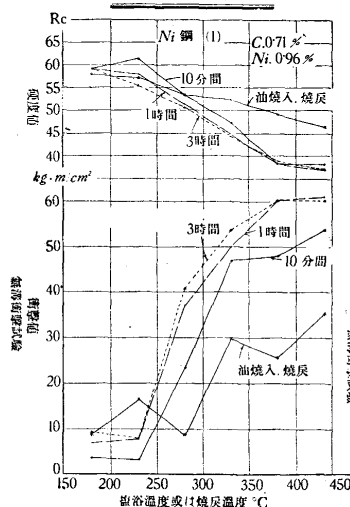
第 9 圖



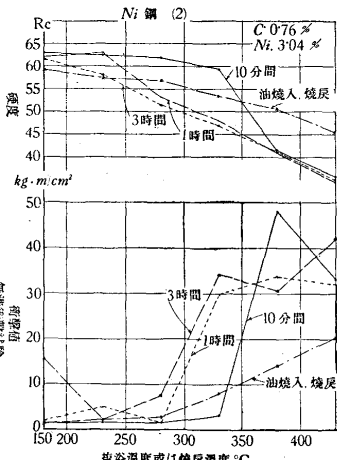
第 10 圖



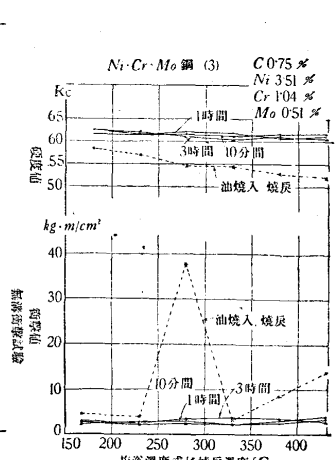
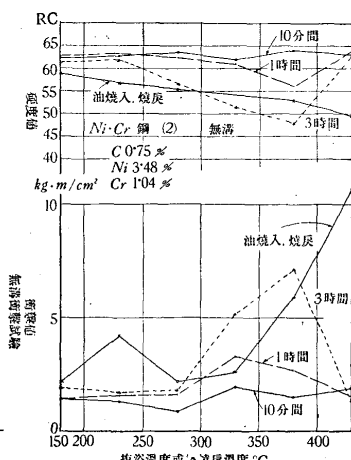
第 11 圖



第 12 圖



第 13 圖



400°C の鹽浴の場合は、鹽浴中浸漬時間が 2 分間の場合に於ても大なる衝撃値を示し、浸漬時間 1 時間位までは、時間の増加に伴ひ衝撃値は増し、浸漬時間がこれ以上の場合は却て減少の傾向が認められる。

硬度値と浸漬時間の関係は 350°C の鹽浴の場合と同様で、時間の増加に伴て次第に減少する。

(2) Cr 鋼の場合 Cr 鋼(1),(2) 及 (3) を 850°C より各溫度の鹽浴中に焼入し、この中に夫々 10 分間、1 時間並に 3 時間浸漬して後、空冷せる各場合の衝撃値及硬度値は第 8, 9 及 10 圖に示すが如くである。これ等の圖より Cr 鋼(1),(2) 及 (3) の各鋼は何れも鹽浴中浸漬時間が 1 時間以上の場合 10 分間浸漬の時より硬度値は稍低いが、衝撲値は可成大なるのが認められ、浸漬時間 1 時間及 3 時間では硬度値及衝撲値に餘り相違がない。

(3) Ni 鋼の場合 Ni 鋼(1) 及 (2) を 850°C より各溫度の鹽浴中に焼入し、夫々 10 分間 1 時間及 3 時間浸漬して後空冷せる各場合の衝撲値及硬度値は第 11 圖及第

12 圖に示せる如くである。

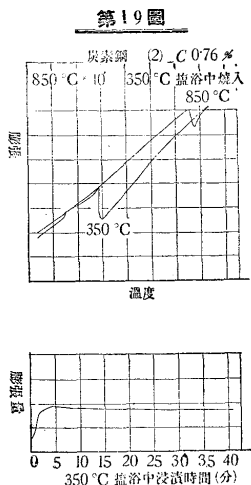
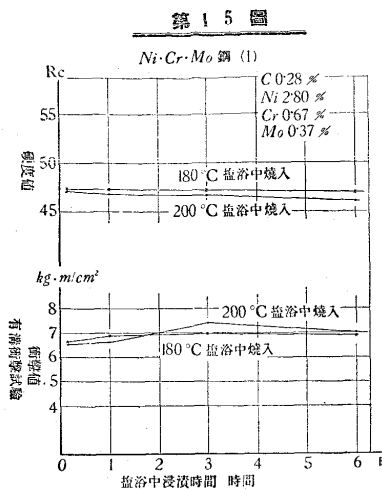
Ni 鋼に於ても Cr 鋼に於けると同様に 10 分間鹽浴中に浸漬せる場合よりも 1 時間以上浸漬する方が鹽浴焼入の効果が顯著であるが 1 時間と 3 時間とではその差は僅少である。

(4) Ni-Cr 鋼の場合 Ni-Cr 鋼(2) を 850°C より鹽浴中に焼入し、浸漬時間を様々に變化せる場合の結果は第 13 圖に示せる如くである。この場合は浸漬時間の増加に伴ひ硬度値は減少し、衝撲値は多少増大するも焼入焼戻せる同一硬度値のものと比較せるに衝撲値は却て小さく、鹽浴熱處理の効果が認められない。

(5) Ni-Cr-Mo 鋼 Ni-Cr-Mo 鋼(3) を鹽浴中に焼入し、浸漬時間を變化せるに第 14 圖に示した如き結果を得た。この場合は Ni-Cr 鋼に於けると同様に鹽浴中浸漬時間を増加するも鹽浴焼入の効果が認められない。

第 15 圖は低炭素 Ni-Cr-Mo 鋼(1) を 850°C より 180 及 200°C の溫度の鹽浴中に焼入し、浸漬時間を 10

分間 1 時間、3 時間並に 6 時間と様々に變化せしめ、浸漬時間の衝撃値及硬度値に及ぼす影響を示したものである。



同圖より鹽浴溫度 180 及 200°C の何れの場合に於ても浸漬時間 3 時間位の時が他の場合より稍大なる衝撃値を示し、硬度値は時間の増加に伴て次第に減少する傾向が認められる。

(C) 鹽浴熱處理せるものを更に焼戻す場合に於ける衝撃値の變化 炭素鋼(2)の 7mm 角 70mm の長さの衝撃試験片を 850°C より 350°C の鹽浴中に焼入し 10 分間浸漬後水中冷却したものを更に焼戻し水冷した各場合の衝撃値及硬度を測定せんに第2表に示せる如き結果を得た。第2表より鹽浴焼入

第2表 C 0.74% 炭素鋼を鹽浴焼入した後焼戻す場合に於ける機械的性質

熱 處 理	衝 撃 値 kg-m/cm²	硬 度 値 Rc
350°C 鹽浴焼入 10 分間 浸漬後 水冷	32.1	48.3
350°C 鹽浴焼入 10 分間 浸漬後 水冷 350°C 30 分間 焼戻後 水冷	35.1	45.9
油焼入 350°C 30 分間 焼戻後 水冷	2.7	52.6
350°C 鹽浴焼入 10 分間 浸漬後 水冷 450°C 30 分間 焼戻後 水冷	38.0	40.6
油焼入 450°C 30 分間 焼戻後 水冷	15.0	44.0
350°C 鹽浴焼入 10 分間 浸漬後 水冷 550°C 30 分間 焼戻後 水冷	34.9	34.4
油焼入 550°C 30 分間 焼戻後 水冷	21.0	38.6
350°C 鹽浴焼入 10 分間 浸漬後 水冷 650°C 30 分間 焼戻後 水冷	45.8	30.1
油焼入 650°C 30 分間 焼戻後 水冷	36.4	30.4

せるものを更に焼戻すに、焼戻温度の上昇に伴て衝撃値は増加するのが認められる。

鹽浴焼入せるものを焼戻すに、その焼戻温度の低い場合は油焼入、焼戻した略同一硬度値のものより衝撃値は著しく大であるが、然し焼戻温度の上昇するに従て、その差は減少するに至る。

V 實驗結果の考察

Bain 及 Davenport¹⁰⁾の兩氏は炭素量 0.70% の炭素鋼を鹽浴中に焼入し、この中に一定時間浸漬後冷却せるに油焼入焼戻した同一硬度値のものより著しく靭性の大なることを報じ、この現象を次の如くに説明して居る。

即ち油焼入せる試片には倍率 2,000 倍位の顯微鏡下で見える程度の微少なる割疵（兩氏はこれを micro-crack と呼んで居る）を生ずるも、鹽浴焼入を行へるものには、この種の割疵が全く現はれないもので、兩者の靭性に著しい相違を生ずるのであらうと述べて居る。

著者は先づ炭素鋼(2)(炭素量 0.74%)に micro-crack が實在するか否かを確めた。

油焼入及鹽浴焼入せる衝撃試験片を研磨した儘の状態並に研磨後硝酸溶液で腐蝕した状態に於て 2,000 倍の顯微鏡下で極めて綿密に検したが、油焼入及鹽浴焼入の何れの場合にも micro-crack は全く現はれなかった。

著者の場合には micro-crack が全く認められざるにも拘らず前述の如く衝撃値に著しい相違を生じた。

炭素鋼(2)に就て色々熱處理を行へる各場合の顯微鏡組織を第3表に示した。

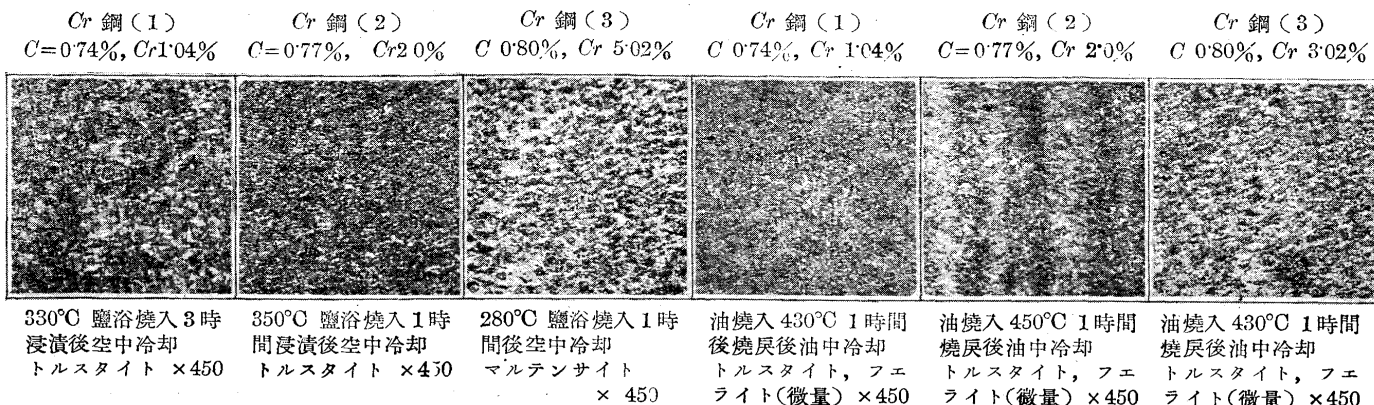
第2圖[炭素鋼(2)]と第3表とを對照し、鹽浴焼入したものと油焼入、焼戻したものに就て、略同一硬度値に於て衝撃値に著しい相違の認められる時の兩者の顯微鏡組織

第3表 C 0.74% の炭素鋼を鹽浴焼入及
油焼入焼戻せる場合の顯微鏡組織

記 號	燒 入 温 度 °C	鹽浴溫度 又は燒 戻 温 度 °C	顯 微 鏡 組 織
B 200	850	200	マルテンサイト
O 200	"	"	マルテンサイト+微量トルスタイト
B 250	"	250	マルテンサイト
O 250	"	"	マルテンサイト+微量トルスタイト
B 300	"	300	マルテンサイト+黒色に腐蝕せられる針状組織
O 300	"	"	トルスタイト+微量マルテンサイト
B 325	"	325	トルスタイト+黒色に腐蝕せられる針状組織
O 325	"	"	トルスタイト
B 350	"	350	トルスタイト+黒色に腐蝕せられる針状組織+微量フライト
O 350	"	"	トルスタイト+微量フェライト
B 370	"	370	トルスタイト+黒色に腐蝕せられる針状組織+微量フェライト
O 370	"	"	トルスタイト+微量フェライト
B 400	"	400	トルスタイト+黒色に腐蝕せられる針状組織+微量フェライト
O 400	"	"	トルスタイト+微量フェライト
O 450	"	450	トルスタイト+多量フェライト
O 500	"	500	ソルペイト

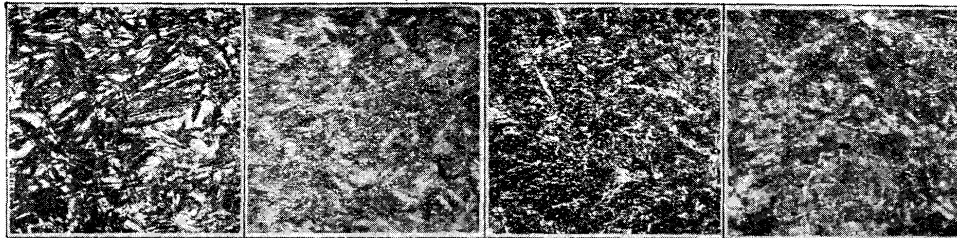
¹⁰⁾ Bain & Davenport: 前掲

第 17 圖 (寫眞は凡て記入倍率を 0.63 に縮寫す)

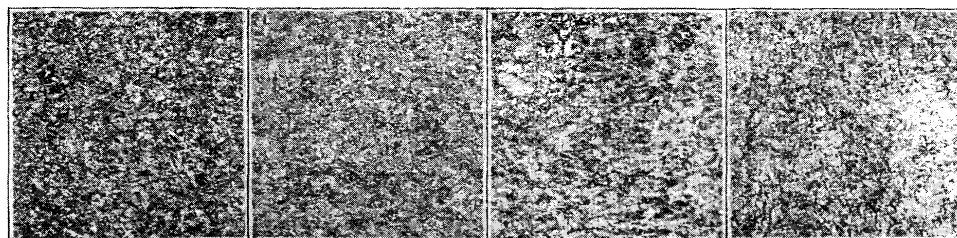


第 16 圖 炭素鋼

A B C D



第 18 圖 Ni 鋼

(1) *C 0.71% Ni 0.96%* (2) *C 0.76%, Ni 3.04%* (1) *C 0.71%, Ni 0.96%* (2) *C 0.76%, Ni 3.04%*

330°C 鹽浴焼入 10 分間
浸漬後空中冷却
マルテンサイト, トル
スタイト × 450

330°C 鹽浴焼入 1 時間
浸漬後空中冷却
マルテンサイト, トル
スタイト × 450

油焼入 430°C 1 時間
焼戻後油中冷却, ト
ルスタイト, フエラ
イト(微量) × 450

油焼入 430°C 1 時間
焼戻後油中冷却, ト
ルスタイト, フエラ
イト(微量) × 450

を比較するに、鹽浴焼入せるものには、特有な針状を呈せ
る黒色に腐蝕される組織が現はれる。その二、三の例を第
16 圖(A) 及 (B) に示した。

第 16 圖(C) 及 (D) は同一鋼を油焼入、焼戻した場合
の組織である。

鹽浴焼入と油焼入、焼戻の兩者の組織間に於て黒色に腐
蝕される針状組織の有無による相違は勿論なれども、綿密
に観察すればこれ以外に結晶の大きさ及形狀等に相違のあ
るものが認められる。

針状の黒色に腐蝕される組織は
鹽浴の温度の上昇に従て、次第に
短くなり、又輪廓は壊れる傾向が
ある。

高炭素鋼(4)及(5)を 850°C より
300°C 以上の温度の鹽浴中に
焼入した場合に、炭素鋼(2)に於
けると同様に特有な針状の黒色に
腐蝕せられる組織が現はれ、又こ
の種の炭素鋼には鹽浴焼入及油焼
入の如何を問はずフリーセメンタ
イトが現出した。

炭素鋼(1)は鹽浴焼入を行ふに
針状の黒色に腐蝕せられる組織は
認められざるも、焼入、焼戻のそ
れとは多少異た組織を呈する。

高炭素 Cr 鋼及 Ni 鋼等に就て
顯微鏡組織を検するに、鹽浴焼入
したもので、油焼入、焼戻せるもの
のと同一硬度値に於て衝撃値の異
なるものには針状の黒色に腐蝕さ

れる組織は認められざるも、焼入、焼戻のそれとは異た組
織を呈して居る。二、三の例を第 17 及 18 圖に示した。

低炭素 Ni-Cr 鋼、Ni-Cr-Mo 鋼及高炭素 Ni-Cr 鋼
を鹽浴焼入した場合及油焼入、焼戻せる場合に、兩者の同
一硬度値に於ける顯微鏡組織を比較するに、低炭素の Ni-
Cr 鋼及 Ni-Cr-Mo 鋼に於ては鹽浴焼入と油焼入、焼戻
とでは結晶粒の大きさ及その形狀等に相違があり。高炭素
Ni-Cr 鋼に於ては、高炭素 Cr 及 Ni 鋼に於けると同様
に鹽浴焼入及焼戻の熱處理によつたものゝ組織に相違

があるのが認められる、炭素 0.74% の炭素鋼以外に含炭素量の異なる炭素鋼及 Cr 及 Ni 含量の異なる Cr 鋼及 Ni 鋼及含炭素量の異なる $Ni\cdot Cr$ 鋼並に $Ni\cdot Cr\cdot Mo$ 鋼等に就ても micro-crack が存在するか否かを綿密に検したが、全く現はれなかつたが、前述の如く油焼入焼戻したもの及鹽浴焼入した兩者組織間に相違のあるのが明かに認められた。

次に鹽浴中に焼入し、この中に浸漬し置く場合に於けるオーステナイトの變態状態を検することにした。

第 19 圖は炭素量 0.74% の炭素鋼を 850°C より 350°C の鹽浴中に焼入した場合に於けるオーステナイトの變態状態を佐藤式自記焼入試験器に自記せしめたものである*。尚同圖に時間對オーステナイトの變態に起因する試料の膨脹量の關係曲線をも示した。

第 19 圖の膨脹量——鹽浴中浸漬時間曲線を見るに、オーステナイトの變態は 350°C の鹽浴中では極めて徐々に進行し、變態完了に約 5 分間を費して居る。

村上、八田兩氏¹²⁾は炭素量 0.92% の炭素鋼ではあるが直徑 8 mm, 長さ 200 mm の試験片を 850°C より油焼入せるに、オーステナイトは約 170°C 前後の溫度で變態を開始し、變態完了までに約 30 秒の時間を要したと報じて居る。

著者の鹽浴焼入せる試験片の寸法は直徑 5 mm, 長さ 70 mm であるから、この寸法の試験片を油焼入する場合には變態完了までに要する時間は村上、八田兩氏の場合よりも尙小なる譯である。

以上より 350°C の鹽浴中焼入の場合は、油焼入に於けるよりも、オーステナイトは高溫で然も徐々に變態するにより變態歪は著しく小なるものと思考する。

第 13 圖及第 14 圖の $Ni\cdot Cr$ 鋼及 $Ni\cdot Cr\cdot Mo$ 鋼等に於ける硬度値對鹽浴中浸漬時間の關係曲線並にこれらの顯微鏡組織等を觀察するに、浸漬時 1 時間に於ては、オーステナイトは殆んど變態を開始して居らざることが推知され、變態速度が著しく小なることが首肯出来る。

Ni 或は Cr 等の元素を單獨に添加せる鋼に於ては $Ni\cdot Cr$ 鋼或は $Ni\cdot Cr\cdot Mo$ 鋼に於けるが如く高溫度に於けるオーステナイトの變態速度は小ならざるも、炭素鋼(2)に

於けるよりも、變態速度の小なることは Upton¹³⁾の實驗結果より明かである。

村上、八田¹⁴⁾兩氏の Cr 鋼[(C 0.75%, Cr 0.99%) 及 (C 0.72%, Cr 2.07%)] 並に Ni 鋼 [(C 0.97%, Ni 0.90%) 及 (C 0.92%, Ni 1.91%)] の直徑 8 mm, 長さ 200 mm の試験片を油焼入せる場合に於ける實驗結果によればオーステナイトの變態開始溫度は大體 150°C 前後にして、變態完了までに 2 分間以上を要せるものは殆んどない。

以上より Cr 鋼, Ni 鋼, $Ni\cdot Cr$ 鋼及 $Ni\cdot Cr\cdot Mo$ 鋼等を適當な溫度の鹽浴中に焼入し、適當なる時間浸漬して後空中冷却する場合には C 0.74% の炭素鋼(2)に於けると同様に油焼入したものよりオーステナイトの變態開始溫度は高く、然も變態速度が小なるため變態歪が著しく小なるものと思考する。

鹽浴焼入せるもの及油焼入、燒戻せるものが、同一硬度値に於て衝擊値に著しき相違を生ずる現象に對する Davenport 及 Bain¹⁵⁾ 兩氏の micro-crack 説には、以上に述べた如き諸點より考察すれば同意出來ない。

著者はこの現象に就ては次の如くに考へる、鹽浴焼入にては、オーステナイトの變態は鹽浴中で開始するにより油焼入の場合に於けるよりも變態開始溫度が高くなるも徐々に變態するため組織に差異を生じ、又變態歪も鹽浴焼入の場合は油焼入に於けるよりも著しく小である。從て鹽浴焼入を行たものと、油焼入燒戻せるものに於て衝擊値に差異を生ずるものと思考する。

C 0.49% の炭素鋼(1)に於ては鹽浴焼入したものと、油焼入燒戻した兩者の衝擊値間に大なる相違の認められるは含炭量少なきため油焼入するも焼が充分に入らず、オーステナイトは高溫で變態を開始し、兩者間に於ける組織及變態歪等に著しい差異を生ぜざるためである。

炭素鋼(4)及(5)の如く含炭量 1.14% 及 1.29% の如きものに於ては、鹽浴焼入、油焼入の如何を問はず、本實驗に於ける燒入溫度からの燒入では、脆弱なるフリーセメント組織が出現し、この影響のために兩者の衝擊値間に差異が認められないであらう。

高炭素 Cr 鋼(3)を 380°C 以上の鹽浴中に焼入した場合及高炭素 $Ni\cdot Cr$ 鋼(2)を 330°C 及 380°C の鹽浴中

* この場合に於ける試験片の寸法は直徑 5 mm, 長さ 70 mm であった。

¹²⁾ 村上、八田：金屬の研究 1935 第 12 卷第 4 號

¹³⁾ Upton: A. S. S. T. 1934 Vol. XXII

¹⁴⁾ 村上、八田：前掲

¹⁵⁾ Davenport 及 Bain: 前掲

に焼入し、この中に3時間浸漬せる場合等に、オーステナイトは鹽浴中で徐々に変態を行ふに拘らず、油焼入焼戻したものより衝撃値の大ならざる原因に就ては次の如くに考へる。即ち鹽浴中に浸漬して置く間に析出する特殊炭化物の影響によるのであらう。

高炭素 Ni-Cr 鋼(2)を 430°C の鹽浴中に焼入した場合及高炭素 Ni-Cr-Mo 鋼(3)を様々な温度の鹽浴中に焼入せる場合等に鹽浴焼入の効果が認められないのは、本實験に於ける浸漬時間の範囲内では、未だオーステナイトが殆んど変態を開始せざるため、鹽浴より曳出し空中冷却する間に硬化するためである。

VI 總 括

以上の實験を總括すれば大體次の如くである。

(1) 炭素鋼, Cr 鋼, Ni 鋼, Ni-Cr 鋼及 Ni-Cr-Mo 鋼等を様々な温度の鹽浴中に焼入し、この中に浸漬する時間を様々に變化し、後冷却せる場合と、油焼入焼戻せる場合の衝撃値及硬度値を比較した。

(2) 炭素鋼に於ては、含炭量 0.7~0.9% の場合は、適當な温度の鹽浴中に焼入し適當な時間浸漬して後冷却することにより油焼入焼戻せる同一硬度値のものより靭性が著しく優り、含炭量がこれ以下或はこれ以上の場合には、鹽浴熱處理の効果が認められない。

(3) Cr 鋼に於ても鹽浴熱處理の効果が認められるが、

然し Cr 元素を添加せるために鹽浴熱處理の効果が特に増大するといふ様なことはない Cr 含量 3% 以上になれば寧ろその効果が平炭素鋼に於けるよりも小なる傾向がある。

(4) Ni 鋼も適當なる鹽浴熱處理により、焼入焼戻せる同一硬度値のものより靭性大なるも、その効果は、炭素鋼及 Cr 鋼に於けるが如く顯著ではない。

(5) Ni, Cr, 及 Mo の各元素を同時に 2 種或は 3 種を添加せる Ni-Cr 鋼及 Ni-Cr-Mo 鋼に於ては

(イ) 含炭量小なる場合は鹽浴熱處理の効果が認められるが餘り顯著ではない。

(ロ) 然し含炭量大なる鋼に於てはその効果が認められない。

(6) 鹽浴中浸漬時間は鹽浴溫度と相關的のもので、又鋼種により差異はあるが、大體 1 時間以上浸漬し、鹽浴中でオーステナイトを徐々に変態せしむべきである。

(7) 鹽浴焼入及油焼入焼戻せる兩者間に於ける衝撃値の相違を顯微鏡組織及變態歪等の差異により説明を試みた。終りに本研究の發表を許可された日本製鋼所及所長打越光保氏に敬意を表すると共に終始御指導下された改良部長黒川慶次郎氏及萩原巖氏に感謝の意を捧げる。又有益なる御助言を賜た石原寅次郎博士に謝意を表すると共に、實驗を援助された土江太郎、生田目順三、小川祐之助、菊池良三君、其他實驗室各位に厚く御禮申上げる。以上

鐵と鋼 第 25 年 第 11 號

熔鋼溫度測定に関する二三の研究

菅野猛

正誤表

頁	箇所	誤	正	頁	箇所	誤	正
1	syNOPSIS・下より 15 行目	does not depend	does depend	6	" 10 "	一般的廣く	一般的に廣く
"	" 8 行目	emissivits	emissivity	8	右列上より 14 "	K. Korber	K. Körber
"	左列上より 3 "	測熱 I	測熱工	"	" 15 "	Hare	Hase
2	" 14 "	"	"	9	下より 11 "	$\kappa = k_1/\rho c$	$\kappa^2 = k_1/\rho c$
"	" 16 "	Emissivitiy	Emissivity	10	左列上より 16 "	(1)式を(2)なる	(1)式を(3)なる
"	" 21 "	校正	較正	10	左列上より 20 行目	$k_2 a/k_1 D J_0(x)$	$(k_2 a/k_1 D J_0(x))$
3	" 6 "	抗抵器	抵抗器	"	下より 8 "	$T_0(x_n)$	$J_0(x_n)$
4	右列下より 6 "	0.56μ	0.65μ	11	脚註 10)		14)
5	左列上より 14 "	輝度	輝度溫度	12	右列下より 8 "	なるだでらう	なるであらう
5	左列上より 17 行目	$E\lambda b$	$E\lambda 6$				
"	" 22 "	Emissivity Power	Emissive Power				
"	" 24 "	$E\lambda$	$\epsilon\lambda$				
"	下より 9 "	Planck	Planck				